

Colle: Dynamique

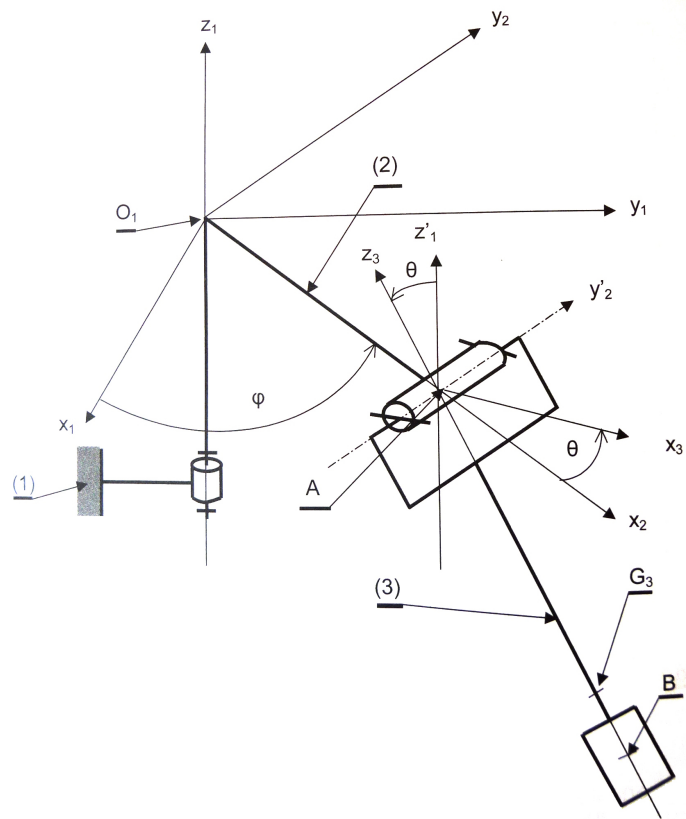
CHAISES VOLANTES

1 Présentation

Un manège est constitué d'un socle **1**, d'un fût central **2** qui supporte dix potences. Au bout de chacune d'elles, est suspendu l'ensemble noté **3** constitué d'une barre et du passager. Le siège est situé en B et fait partie intégrante de cet ensemble **3** rigide. La direction \vec{z}_1 est verticale. Les liaisons sont parfaites et sans frottement.

On donne :

- $\overrightarrow{O_1A} = R \cdot \vec{x}_2$ $\overrightarrow{AG_3} = -L \cdot \vec{z}_3$ $\vec{y}_2 = \vec{y}_2' = \vec{y}_3$
- Solide **3** : masse m_3 , centre d'inertie G_3 , $\bar{I}_{(A,3)} = \begin{pmatrix} A_3 & 0 & 0 \\ 0 & B_3 & 0 \\ 0 & 0 & C_3 \end{pmatrix}_{b_3}$
- La schématisation cinématique :

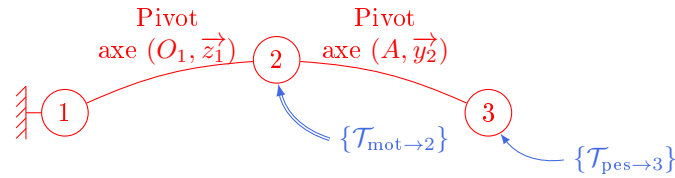


Objectif

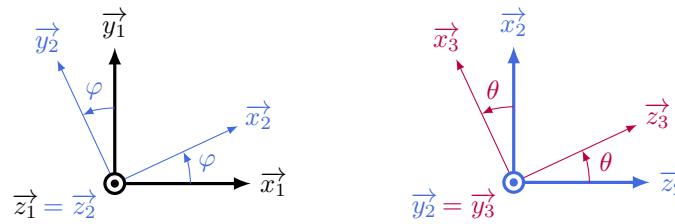
L'objectif est de déterminer l'angle d'inclinaison θ correspondant à une vitesse de rotation du manège donnée.

2 Travail demandé

Question 1 Tracer le graphe des liaisons en plaçant l'ensemble des informations nécessaires à l'étude.



Question 2 Réaliser les figures de changement de bases.



Question 3 Préciser le torseur des actions mécaniques de **2** sur **3** en A dans la base b_2 .

Liaison pivot d'axe (A, \vec{y}_2) :

$$\{\mathcal{T}_{2 \rightarrow 3}\}_A = \begin{Bmatrix} X_{23} & L_{23} \\ Y_{23} & 0 \\ Z_{23} & N_{23} \end{Bmatrix}_{b_2}$$

Question 4 Déterminer la stratégie d'isolement et de projection afin d'étudier les variations de l'angle θ .

On isole **3** puis on applique le théorème du moment dynamique en A autour de $\vec{y}_2 = \vec{y}_3$. Comme cela, on trouvera directement l'équation du mouvement et on ne verra pas apparaître les actions mécaniques de la liaison pivot.

La vitesse de rotation $\dot{\varphi}$ est constante. De plus, on suppose que le moment d'inertie C_3 est négligeable devant les autres.

Question 5 Déterminer le torseur cinétique en A de **3** dans R_1 .

Résultante cinétique

$$\overrightarrow{V_{G_3 \in 3/1}} = \left[\frac{d\overrightarrow{O_1 G_3}}{dt} \right]_{R_1} = \left[\frac{d}{dt} R \cdot \vec{x}_2 - L \cdot \vec{z}_3 \right]_{R_1}$$

$$\text{Avec : } \left[\frac{d\vec{x}_2}{dt} \right]_{R_1} = \dot{\varphi} \cdot \vec{y}_2 \quad \text{et} \quad \left[\frac{d\vec{z}_3}{dt} \right]_{R_1} = -\dot{\theta} \cdot \vec{x}_3 - \dot{\varphi} \sin \theta \cdot \vec{y}_2$$

$$\text{On a alors : } \overrightarrow{V_{G_3 \in 3/1}} = -L\dot{\theta} \cdot \vec{x}_3 + (R - L \sin \theta) \dot{\varphi} \cdot \vec{y}_2$$

$$\text{Soit enfin : } \overrightarrow{R\{c_{3/1}\}} = m_3 \overrightarrow{V_{G_3 \in 3/1}} = m_3 \left(-L\dot{\theta} \cdot \vec{x}_3 + (R - L \sin \theta) \dot{\varphi} \cdot \vec{y}_2 \right)$$

Moment cinétique en A

$$\overrightarrow{M_A\{c_{3/1}\}} = \overrightarrow{\sigma_{A \in 3/1}} = \overrightarrow{I_{(A,3)}} \cdot \overrightarrow{\Omega_{3/1}} + m_3 \overrightarrow{AG_3} \wedge \overrightarrow{V_{A \in 3/1}}$$

Pour le produit matriciel, il faut exprimer $\overrightarrow{\Omega_{3/1}}$ dans b_3 : $\overrightarrow{\Omega_{3/1}} = \dot{\theta} \cdot \overrightarrow{y_3} + \dot{\varphi} \cdot \overrightarrow{z_1} = \begin{pmatrix} -\dot{\varphi} \sin \theta \\ \dot{\theta} \\ \dot{\varphi} \cos \theta \end{pmatrix}_{b_3}$

Soit, avec C_3 négligeable : $\overrightarrow{I_{(A,3)} \cdot \Omega_{3/1}} = -A_3 \dot{\varphi} \sin \theta \cdot \overrightarrow{x_3} + B_3 \dot{\theta} \cdot \overrightarrow{y_3}$

Et : $\overrightarrow{AG_3} \wedge \overrightarrow{V_{A \in 3/1}} = -L \cdot \overrightarrow{z_3} \wedge R \dot{\varphi} \cdot \overrightarrow{y_2} = LR \dot{\varphi} \cdot \overrightarrow{x_3} \Rightarrow \overrightarrow{\sigma_{A \in 3/1}} = (m_3 LR - A_3 \sin \theta) \dot{\varphi} \cdot \overrightarrow{x_3} + B_3 \dot{\theta} \cdot \overrightarrow{y_3}$

Torseur cinétique

En combinant les 2 résultats précédents : $\{C_{3/1}\}_A = \begin{Bmatrix} m_3 \left(-L \dot{\theta} \cdot \overrightarrow{x_3} + (R - L \sin \theta) \dot{\varphi} \cdot \overrightarrow{y_2} \right) \\ (m_3 LR - A_3 \sin \theta) \dot{\varphi} \cdot \overrightarrow{x_3} + B_3 \dot{\theta} \cdot \overrightarrow{y_3} \end{Bmatrix}$

Question 6 Déterminer le torseur dynamique en A de **3** dans R_1 .

Résultante dynamique

$\overrightarrow{\Gamma_{G_3 \in 3/1}} = \left[\frac{d}{dt} \overrightarrow{V_{G_3 \in 3/1}} \right]_{R_1}$ avec : $\left[\frac{d \overrightarrow{x_3}}{dt} \right]_{R_1} = -\dot{\theta} \cdot \overrightarrow{z_3} + \dot{\varphi} \cos \theta \cdot \overrightarrow{y_3}$

Alors : $\overrightarrow{R\{D_{3/1}\}} = m_3 \overrightarrow{\Gamma_{G_3 \in 3/1}} = m_3 \left(-L \ddot{\theta} \cdot \overrightarrow{x_3} - 2L \dot{\theta} \dot{\varphi} \cos \theta \cdot \overrightarrow{y_2} - (R - L \sin \theta) \dot{\varphi}^2 \cdot \overrightarrow{x_2} + L \dot{\theta}^2 \cdot \overrightarrow{z_3} \right)$

Moment dynamique en A

On a : $\overrightarrow{M_A\{D_{3/1}\}} = \overrightarrow{\delta_{A \in 3/1}} = \left[\frac{d}{dt} \overrightarrow{\sigma_{A \in 3/1}} \right]_{R_1} + \overrightarrow{V_{A/1}} \wedge m_3 \overrightarrow{V_{G_3 \in 3/1}}$ ce qui donne après calculs :

$\overrightarrow{\delta_{A \in 3/1}} = -B_3 \dot{\varphi} \dot{\theta} \cdot \overrightarrow{x_2} - A_3 \dot{\varphi} \dot{\theta} \cos \theta \cdot \overrightarrow{x_3} + \left((-A_3 \sin \theta + m_3 LR) \dot{\varphi}^2 \cos \theta + B_3 \ddot{\theta} \right) \cdot \overrightarrow{y_2} + A_3 \sin \theta \dot{\varphi} \dot{\theta} \cdot \overrightarrow{z_3}$

Torseur dynamique

En combinant les 2 résultats précédents :

$\{D_{3/1}\}_A = \begin{Bmatrix} m_3 \left(-L \ddot{\theta} \cdot \overrightarrow{x_3} - 2L \dot{\theta} \dot{\varphi} \cos \theta \cdot \overrightarrow{y_2} - (R - L \sin \theta) \dot{\varphi}^2 \cdot \overrightarrow{x_2} + L \dot{\theta}^2 \cdot \overrightarrow{z_3} \right) \\ -B_3 \dot{\varphi} \dot{\theta} \cdot \overrightarrow{x_2} - A_3 \dot{\varphi} \dot{\theta} \cos \theta \cdot \overrightarrow{x_3} + \left((-A_3 \sin \theta + m_3 LR) \dot{\varphi}^2 \cos \theta + B_3 \ddot{\theta} \right) \cdot \overrightarrow{y_2} + A_3 \sin \theta \dot{\varphi} \dot{\theta} \cdot \overrightarrow{z_3} \end{Bmatrix}$

Question 7 Déterminer l'équation différentielle qui gouverne les variations de l'angle θ .

On va appliquer le PFD à **3** et on écrira l'équation de moment en A en projection sur $\overrightarrow{y_2}$. De cette manière, on ne verra pas apparaître les inconnues de liaison de la liaison pivot.

IAME

- $Mom_A\{\mathcal{T}_{\text{pes} \rightarrow 3}\} \cdot \overrightarrow{y_2} = -L m_3 g \sin \theta$

PFD

En reprenant les résultats précédents, on trouve : $B_3 \ddot{\theta} + \dot{\varphi}^2 \cos \theta (m_3 LR - A_3 \sin \theta) = -L m_3 g \sin \theta$ (1)

A une vitesse de rotation constante, la barre **3** se stabilise par rapport à **2** : θ est alors constant et noté θ_s .

Question 8 Déterminer l'expression de cet angle d'inclinaison en supposant qu'en première approximation A_3 peut être négligé devant le produit m_3LR . Réaliser l'application numérique avec $R = 4\text{ m}$ et $\dot{\varphi} = 1\text{ rad.s}^{-1}$.

Avec $\theta = \theta_s$ et $A_3 \ll m_3LR$: (1) : $m_3LR\dot{\varphi}^2 = -Lm_3g \sin \theta \Rightarrow \tan \theta_s = -\frac{R\dot{\varphi}^2}{g}$

AN: $\theta_s = -22,2^\circ$ (< 0 car attiré vers l'extérieur... comportement logique)

Question 9 Déterminer dans ce cas l'expression des composantes de $\{\mathcal{T}_{2 \rightarrow 3}\}$.

On reprend le PFD appliqué à **3** :

$$\{\mathcal{T}_{2 \rightarrow 3}\}_A = \begin{Bmatrix} -m_3(R - L \sin \theta) \dot{\varphi}^2 & 0 \\ 0 & 0 \\ m_3g & 0 \end{Bmatrix}_{b_2}$$

Question 10 Réaliser l'application numérique avec : $L = 2\text{ m}$ $m_3 = 100\text{ kg}$ $A_3 = B_3 = 130\text{ kg.m}^2$.

$$\{\mathcal{T}_{2 \rightarrow 3}\}_A = \begin{Bmatrix} -324 & 0 \\ 0 & 0 \\ 981 & 0 \end{Bmatrix}_{b_2} \Rightarrow \|\vec{F}_{2 \rightarrow 3}\| = 1033\text{ N}$$

Question 11 Dessiner dans le plan $(A_2, \vec{x}_2, \vec{z}_1)$ la position de la barre ainsi que les efforts qu'elle subit.

